

의용방사선 영역에서 조영제의 물성에 관한 연구 The Study on the Physical Properties for Contrast Media in the Region of Diagnostic Radiology

김영근^{*} 동신대학교 대학원 전기전자공학과
이경섭^{*} 동신대학교 공과대학 전기전자공학과
Y.K. Kim^{*} Dept. of Electrical and Electronic Eng. Dong-shin Univ. Grad.
K.S. Lee^{*} Dept. of Electrical and Electronic Eng. Dong-shin Univ.

Abstract

The absorption coefficient of contrast media was measured region of diagnostic radiology. Relative values of absorption coefficient was found the largest peak in the range of 60~70kVp for sodium sulfate and 60kVp for iodine. Increasing the thickness of contrast media and patient, the values of absorption coefficient was rising.

I. 서 론

의료용 방사선에 의해 생성되는 에너지 스펙트럼은 낮은 에너지에서부터 높은 에너지까지 광범위하게 분포하며, spectrum 중심부분의 광자(光子)들은 방사선영상(radiographic image)을 형성하는데 중심적인 역할을 한다. 또한 낮은 에너지측의 대부분은 인체에 입사하는 첫 수 Cm내에서 흡수하는 까닭에 환자선량의 증가원인이 되고, 높은 에너지측의 X-선 감약계수값은 낮은 대조도 영상을 형성하게 되며, 영상의 질적저하를 가져오는 산란선에 기여한다.^{1,2,3)}

환자의 선량의 원인인 낮은 에너지를 제거하기 위해 Al filter를 일반적으로 사용하고 상에 필요한 에너지 영역에 높은 광자투과를 하는 방법으로 변화하는 증금속 필터를 사용하고 있다.^{4,5,6)}

조영제를 이용한 검사에서 X-선 spectrum은 조영제의 감약계수가 높은 고비율의 많은 광자량이 필요하며 영상을 형성하는 물체의 조영제는 효과적으로 입사 X-선을 흡수하여야 대조도를 극대화 할수 있는데, 따라서 좋은 대조도의 영상을 제공하기 위해서는 활영시 이용 X-선 에너지가 적절하게 사용되어야 한다.

즉 입사 X-선 에너지가 조영제의 흡수단(absorption edge)과 근접 또는 약간 높아야 최대의 영상대조도를 얻을 수 있다. 예를들어 입사 X-선 에너지가 iodine의 K흡수단 보다 약간 낮으면 iodine의 질량흡수계수(mass absorption coefficient)는 $6.6\text{cm}^2/\text{g}$ 으로 X-선 흡수가 낮지만 흡수단보다 약간 높은 경우 흡수계수가 $36\text{cm}^2/\text{g}$ 으로 급격히 증가하면서 X-선 흡수도 급증하며 대조도가 높은 영상을 제공한다. 조영술에서는 조영제에 따른 관전압 선택이 화질에 결정적인 역할을 하게된다.⁷⁾

조영제는 1989년 Dutto가 사체에 석고제를 주입하여 생체에 조영제를 용용한 후부터,⁸⁾ 소화기계통의 조영은 X-선용 황산바륨이 사용되고 혈액계통은 요오드제 제제가 사용되고 있다.

X-선 흡수차를 크게 할 목적으로 쓰이는 조영제의 각각 물리적특성, 화학적특성을 고려할수 있으나 본 연구에서는 요오드제, 바륨제의 이미 알려진 물리적특성인 흡수계수와 비교해서 의료용 방사선 영역에서 관전압, 조영제 두께 (cc/cm^2)와 농도의 변화에 따른 흡수계수(μ)는 어떻게 변하는지 알아보고, 관전압 변화에 따른 바륨, 요오드제의 흡수단이 X-선상에 미치는 영향에 대한 연구를 하였다.

II. 실험방법

조영제의 흡수계수를 구하기 위해 Ba제재 T제약-120, 140(w/v%)을 각각 $0.5\text{cc}/\text{cm}^2$, $1\text{cc}/\text{cm}^2$, $1.5\text{cc}/\text{cm}^2$, $2\text{cc}/\text{cm}^2$, T제약 320[®] 원액과 셀라인에 50%로 회석시킨 iodine제제 각각 $0.25\text{cc}/\text{cm}^2$, $0.5\text{cc}/\text{cm}^2$, $0.75\text{cc}/\text{cm}^2$, $1\text{cc}/\text{cm}^2$ 를 흡수체로 사용하고, 피사체의 두께를 변화시키기 위해 인체조직 등가물질인 acryl 두께가 $10\sim25\text{cm}$ 를 사용 하였으며, 관전압(kVp)은 50~110kVp를 조사하였다. 측정에 사용된 기기는 X-선발생장치 (동아X선기기, 150kV, 500mA), 형광량계 (ALCO ELECTRIC CO, LTD MODEL F-11)로서 그 back diagram은 그림 1과 같다.

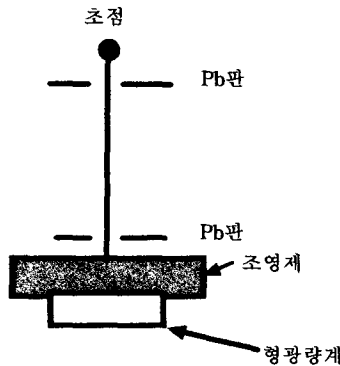


그림 1 실험 배치도

Fig. 1 A back diagram of experiment apparatus

III. 결과 및 고찰

임상에 사용되는 조영제는 흡수를 목적으로 사용되어 주변조직간의 대조도를 크게 하는 데 기여한다.⁷⁾ 조영제는 X-선 조사 후 광전효과가 많이 발생할 때 흡수를 크게 하며^{7,8,9)} 조영제가 효과적으로 입사 X-선의 흡수를 극대화해야 좋은 대조도의 영상을 제공할 수 있는 테, 입사 X-선 에너지가 조영제의 흡수단(absorption edge)과 근접 도는 약간 높아야 최대의 흡수계수(μ)를 얻을 수 있다.⁸⁾ 예를 들면, 바륨의 경우 K흡수단이 37.4keV로 바로 위 수준에서 흡수는 최대가 된다.^{10,11,12)}

의료용방사선에 사용되는 X-선 관전압의 사용범위는 50~150kVp이며, 이 X-선은 여러 과장(polychromatic radiation)으로서 평균에너지에는 최대에너지의 1/3~1/2정도이다.⁸⁾

연구결과 관전압, 조영제의 두께, 농도와 피사체의 두께에 변화에 따라서 황산바륨, 요오드의 흡수단이 X-선상에 미치는 영향을 연구한 결과 그림 2~9으로 나타났다.

황산바륨의 경우, K흡수단이 그림 10에서 37.4keV인 텨, 그림 2~5와 같이 진단방사선(kVp)에서는 60~70 kVp 영역에 서 가장 높은 흡수계수(μ)의 상대치를 보여주고 있다.

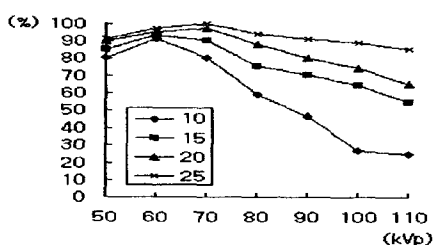


그림 2 Ba(120) 1.0cc/cm³의 흡수계수(μ) 상대치(%)

Fig. 2 Relative values(%) of absorption coefficient for Ba(120) 1.0cc/cm³

요오드는 K흡수단이 그림 10에서 33.7kVp로 나타났는데, 진단방사선(kVp)에서는 그림 6~9와 같이 60kVp에서 가장 높은 흡수계수(μ) 상대치를 보여주고 있다.

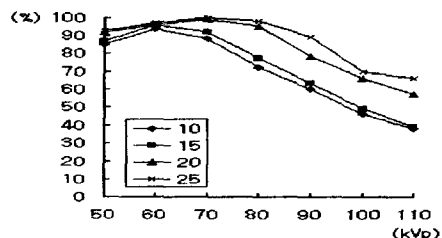


그림 3 Ba(120) 2.0cc/cm³의 흡수계수(μ) 상대치(%)

Fig. 3 Relative values(%) of absorption coefficient for Ba(120) 2.0cc/cm³

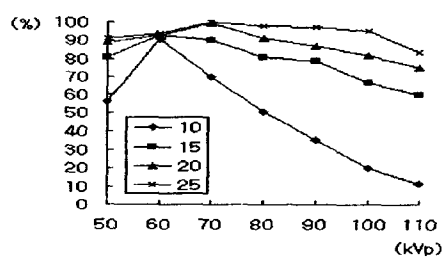


그림 4 Ba(140) 0.50cc/cm³의 흡수계수(μ) 상대치(%)

Fig. 4 Relative values(%) of absorption coefficient for Ba(140) 0.50cc/cm³

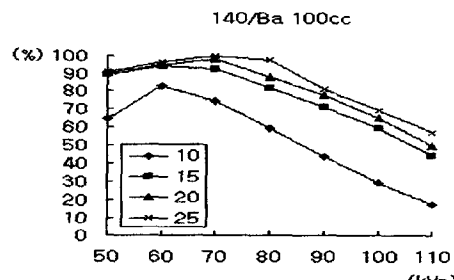


그림 5 Ba(140) 1.0cc/cm³의 흡수계수(μ) 상대치(%)

Fig. 5 Relative values(%) of absorption coefficient for Ba(140) 1.0cc/cm³

요오드는 60kVp에서 바륨은 60~70 kVp에서 흡수계수(μ)의 상대값이 최대가 되는 것은 조영제 K흡수단과 X-선의 실제에너지의 상호관계에서 나타난 결과이다.

조영제의 농도, 두께와 피사체의 두께변화에서는 조영제의 농도보다는 조영제의 두께에 의해서 X-선 감암이 이루어지면 피사체가 두꺼워지면 조영제와 주변조직의 흡수계수(μ) 차이가 작아진다.^{13,14,15)}

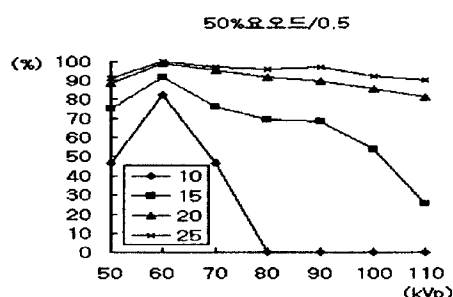


그림 6 I(50%) 0.50cc/cm³의 흡수계수(μ) 상대치(%)
Fig. 6 Relative values(%) of absorption coefficient for I(50%) 0.50cc/cm³

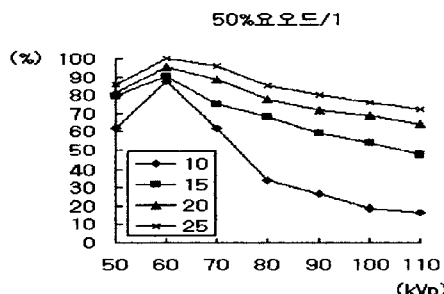


그림 7 I(50%) 1.0cc/cm³의 흡수계수(μ) 상대치(%)
Fig. 7 Relative values(%) of absorption coefficient for I(50%) 1.0cc/cm³

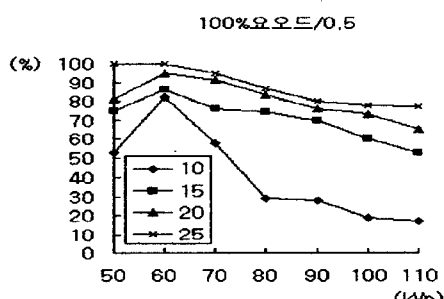


그림 8 I(100%) 0.50cc/cm³의 흡수계수(μ) 상대치(%)
Fig. 8 Relative values(%) of absorption coefficient for I(100%) 0.50cc/cm³

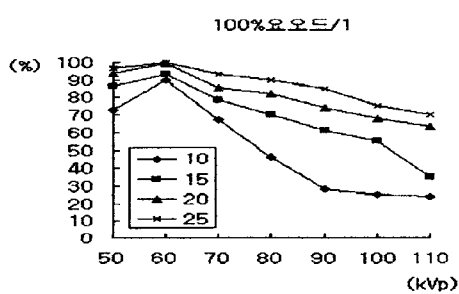


그림 9 Ba(120) 0.50cc/cm³의 흡수계수(μ) 상대치(%)
Fig. 9 Relative values(%) of absorption coefficient for Ba(120) 0.50cc/cm³

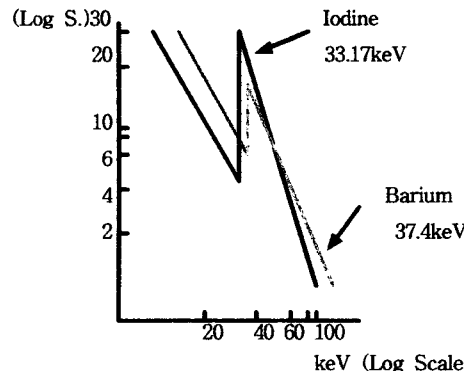


그림 10 조영제의 흡수계수
Fig. 10 The absorption coefficient of iodine and sodium sulfate

그림 2~9에서 피사체 두께가 두꺼워짐에 따라 X-선 감약 상대치가 점점 상승하여, 흡수계수 차이가 작아지며, 조영제의 두께(cc/cm³)에 따라서도 X-선 감약이 점차 증가함을 볼 수 있었는데 이는 조영제 두께와 피사체의 두께 변화에 따라 X-선 감약은 이루어지나 광전흡수에는 직접적인 영향을 주지 않는다는¹⁶⁾ 이론과 일치하였다.

IV. 결 론

진단방사선 영역에서 조영제의 물리적 특성인 흡수계수(μ)를 측정한 결과 다음과 같은 결론을 얻었다.

1. 황산바륨 제재는 60~70kVp 범위에서 흡수계수(μ)의 상대값이 크게 나타났다.
2. 요오드 제재는 60kVp에서 흡수계수(μ)의 상대값이 크게 나타났다.
3. 황산바륨, 요오드 제재의 흡수계수(μ)값은 두께가 증가하면 증가한다.

참 고 문 헌

1. Jorge E. Villagran, M.Sc., Barry B. Goobbs, M.D., F.R.C.P(C), and Kenneth W. Taylor, Ph.D., "Reduction of Patient Exposure by Use of Heavy Elements as Radiation Filters in Diagnostic Radiology"¹" Radiology 127: pp. 249~254, 1978.
2. R. BIRCH, "Computation of Bremsstrahlung X-ray Spectra and Comparison with Spectra Measured with a Ge(Li) Detector", PHYS. MED. BIOL., Vol. 24(3), pp. 505~517, 1979.
3. Michel M. Ter-Pogossian, "The Physical Aspects of Diagnostic Radiology", Hoeber Medical Division, pp. 254~260, 1969.

4. Kees Koedoeder and Henk W Venema, "Filter Materials for Reduction in Screen-Film Radiography", phys. Med. Biol, vol. 31, No 6, pp. 585~600, 1986.
5. Sang H Cho, Warren D Reece and John W Poston Sr, "Calculation of the Dose Distribution in Water from ^{71}Ge K-shell X-rays", Phys. Med. Biol, vol. 42, pp. 1023~1032, 1997.
6. Frantisek Spurny, Lennart Johansson, Anders Satherberg, Jiri Bednar and Karel TureK, "The Contribution of Secondary Heavy Particles to the Absorbed Dose from high-energy photon beams", Phys. Med. Biol, vol. 41, pp. 2643~2656, 1996.
7. Edward E. Christensen, Thomas S. Curry, James E. Dowdley, "An Introduction to the Physics of Diagnostic Radiology", Lea & Febiger, pp. 165, 1978.
8. 四宮恵次, "増感紙の X線 energy 有效利用に 關する研究", 日本技學誌, Vol. 43(9), pp. 1435~1450, 1987.
- R. BIRCH, "Computation of Bremsstrahlung X-ray Spectra and Comparison with Spectra Measured with a Ge(Li) Detector", Phys. Med. Biol., Vol. 24(3), pp. 505~517, 1979.
9. Edward E. Christensen, Thomas S. Curry, James E. Dowdley, "An Introduction to the Physics of Diagnostic Radiology", Lea & Febiger, pp.165, 1978.
10. A Calicchia, M Gambaccini, P L Indovina, F Mazzei and L Puglianì, " Niobium Molybdenum K-edge Filtration in Mammography : Contrast and Dose Evaluation ", Phys. Med. Biol, Vol. 41, pp. 1717~1726, 1996.
11. Horacio J Patrocinio, Jean-Pierre Bissonnette, Marc R Bussiere and L John Schreiner, " Limiting Values of Backscatter Factors for Low-Energy X-ray Beams ", Phys. Med. Biol, Vol. 41, pp. 239~253, 1996.
12. G E Giakoumakis, C D Nomicos and P X Sandilos, " Absolute Efficiency of $\text{Gd}_2\text{O}_2\text{S}$: Tb Screens under Fluoroscopic Conditions ", Phys. Med. Biol, Vol. 34 No. 6, pp. 673~678, 1989.
13. R M Harrison, " Tissue-Air Ratios and Scatter-Air Ratios for Diagnostic Radiology (1~4mm Al HVL)", Phys. Med. Biol, Vol. 28, NO. 1, pp.1~18, 1983.
14. Heang-Ping Chan and Kunio Doi, " Energy and Angular Dependence of X-ray Absorption and its Effect on Radiographic Response in Screen-Film Systems ", Phys. Med. Biol, Vol. 28, No. 5, pp. 565~579, 1983.
15. B Grosswendt, " Backscatter Factors for X-rays Generated at Voltages between 10 and 100kV ", Phys. Med. Biol, Vol. 29, No 5, pp. 579~591, 1984.
16. 宇佐美 公男 他2人, "増感紙の X-線 Spectra 依存性", 日本放射線技術學會雑誌, 第46卷 第1号, pp. 7~13, 1990.